

()

- - -

Cu(Bpy)(dTDP)

ثابت‌های اسیدی و پایداری کمپلکس‌های $\text{Cu}(\text{Bpy})(\text{dTDP})^-$ ، $\text{Cu}(\text{dTDP})^-$ تیمیدین $-5'$ -دی فسفات) و $\text{Cu}(\text{Bpy})(\text{dTDP})^-$ (Bpy) به سیله تیتراسیونهای پتانسیومتری اندازه گیری شد. در این مقاله نشان داده شده است که پایداری کمپلکس‌های دو گانه $\text{Cu}(\text{Bpy})(\text{dTDP})^-$ فقط توسط گروه دی فسفات تعیین می‌شود. در حالی که برای سیستمهای مختلط یا سه گانه $\text{Cu}(\text{Bpy})(\text{dTDP})^-$ متفاوت است. همچنین نشان داده شده است که رابطه تعادلی:

$$\text{Cu}(\text{Bpy})^{2+} + \text{Cu}(\text{dTDP})^- \rightleftharpoons \text{Cu}(\text{Bpy})(\text{dTDP})^- + \text{Cu}^{2+}$$

بطور قابل توجهی به سمت راست متماطل می‌شود. قسمت مهم این پدیده به تمایل فلزات 3d به گروههای هتروآروماتیک O, N, S باز می‌گردد. این افزایش پایداری همچنین به برهمکنش میان لیگندها در کمپلکس $\text{Cu}(\text{Bpy})(\text{dTDP})^-$ مربوط می‌شود. میزان اندازه گیری شده حدوداً 0.35 واحد \log می‌باشد که مربوط است به پدیده تجمع¹ لیگند-لیگند. برای اثبات این مطلب ثابت پایداری کمپلکس‌های تشکیل شده با Cu^{2+} و یا $\text{Cu}(\text{Bpy})^{2+}$ (تیمیدین $-5'$ -دی فسفات) بوسیله تیتراسیونهای پتانسیومتری در محلول آبی ($I = 0.1\text{M}$, NaNO_3 , 25°C) اندازه گیری شده است که با اضافه کردن NaNO_3 قدرت یونی I ثابت نگهداشته می‌شود.

واژه‌های کلیدی: نوکلئوتیدها، دی فسفات منو استرها، ثابت‌های پایداری، ثابت‌های اسیدی، برهمکنش‌های درون موکولی، تجمع لیگند-لیگند.

Study of Intramolecular Interactions in Mixed Ligand Complexes Cu(Bpy)(dTDP)⁻ by Potentiometric Titrations

¹ Stacking

S.A.A. Sajadi

Institut of Water & Energy, Sharif University of Technology

Abstract

The acidity and stability constants of Cu(dTDP)⁻ (thymidine-5'-diphosphate) and Cu(Bpy)(dTDP)⁻ (2,2'-bipyridyl) complexes, were determined by potentiometric pH titration. It is shown that the stability of the binary Cu(dTDP)⁻ and complexes is determined solely by the basicity of the diphosphate group. It is demonstrated that the equilibrium, $\text{Cu}(\text{Bpy})^{2+} + \text{Cu}(\text{dTDP})^- \rightleftharpoons \text{Cu}(\text{Bpy})(\text{dTDP})^- + \text{Cu}^{2+}$, is displacement is due to the well known experience that mixed ligand complexes formed by a divalent 3d ion, a heteroaromatic N base and an O donor ligand possess increased stability. The other part of this displacement, which amounts on average to an increased stability of the mixed ligand Cu(Bpy)(dTDP)⁻ complexes of about 0.35 log unit. The stability constants of the 1:1 complexes formed between Cu²⁺ or Cu(Bpy)²⁺ and dTDP³⁻ (thymidine-5'-dihosphate), were determined by potentiometric pH titration in aqueous solution ($I = 0.1 \text{ M}, \text{NaNO}_3, 25^\circ\text{C}$).

Keywords: Nucleotids, Diphosphate monoesters, Stability constants, Acidity constants, Intramolecular interactions, Ligand-ligand stacking.

تصویر لیگند $d\text{TDP}^{3-}$ مشاهده می شود. در این مقاله به میزان

برهمکنش میان حلقه نوکلئو باز در $d\text{TDP}^{3-}$ و بی پریدین می پردازیم. نوکلئوتیدها در واکنشهای آنزیمی بصورت کمپلکس با یونهای فلزی وارد می شوند. یکی از مهمترین واکنشها میان یونهای فلزی و گروه فسفات نوکلئوتیدها صورت می گیرد. در این گونه واکنشها مهم این است که نوکلئوتیدها از طرف گروه فسفات با یونهای فلزی ارتباط برقرار نمایند. در کنار این واکنشها، نوع دیگری از برهمکنشهای بین مولکولی از نوع پیوندهای هیدروژنی و تجمع لیگند-لیگند مشاهده می گردد که نقش مهمی را در این گونه واکنشها و تشکیل کمپلکسهای ماکروکلیلت ایفا می نماید. برای بدست آوردن میزان این برهمکنشها می بایستی

مقدمه

برهمکنش های غیر کووالنسی از اهمیت بالایی برخوردار می باشند. برای مثال این گونه برهمکنش ها برای ساختار ماکرومولکولها و ویژگی گرینش پذیری سیستم های بیولوژیکی اهمیت دارند [۲-۱]. قسمت مهم این برهمکنش های غیر کووالنسی به نیروی پیوند هیدروفوبیک و برهمکنش های تجمعی مربوط می شود. این پدیده در اکثر موارد در سیستمهای مختلط یا سه گانه مشاهده می شود [۲-۸]. در مطالعه ویژگی های سیستمهای سه گانه مربوط به $d\text{TDP}^{3-}$ و $d\text{TPP}^{4-}$ دیده شده است که حلقه باز نوکلئوزید نقش مهمی را ایفا می نماید و بر همکنش میان این حلقه و حلقه هتروآروماتیک بی پریدین ایجاد می گردد [۹]. در شکل ۱

0.54 mM HNO_3 (در شرایطی که محلول حاوی NaNO_3 و L) در 25°C , $I = 0.1\text{ M}$ تحت N_2 با محلول 0.30 mM NaOH تعین گردید. محاسبات با کامپیوتر IBM با نرم افزار تهیه شده توسط این گروه براساس نیوتون-گاوس^۲ و بر اساس مجموع خطاهای درجه دو انجام گردید. با استفاده از این روش که با بکارگیری کلیه یونهای دخیل در واکنشها عمل می نماید وابستگی تفاوت‌های pH اندازه گیری شده به مقدار باز مصرف شده به تعادل تئوری بافری نزدیک می شود. از این بهینه سازی غلظت کل لیگند و ثابت‌های اسیدی بدست می آیند. این محاسبات در فاصله 0.1 واحد pH بوسیله اندازه گیری تفاوت مقدار باز مصرف شده انجام می گردد. برای محدوده $\text{pH}^{2-} - \text{pH}^{4-}$ انتخاب شده است که معادل 2% خنثی سازی معادله $\text{dTDP}^{2-}/\text{dTDP}^{3-}$ و حدود 75% خنثی سازی معادله $\text{dTDP}^{3-}/(\text{dTDP})^{4-}$ بوده است. بدليل پایین بودن میزان فسفات معدنی ($< 3\%$) این میزان در محاسبات وارد نشده است. نتایج نهایی براساس اعداد بدست آمده از تیتراسیون حداقل 20 جفت منحنی pH مستقل (تیتراسیون اسید با لیگند و اسید بدون لیگند) جمع آورده شده است.

تعیین ثابت پایداری

ثابت‌های پایداری $K_{M(dTDP)}^M$ و $K_{M(H,dTDP)}^M$ بطوری که $\text{M}^{2+}: \text{Cu}^{2+}, \text{Cu}(\text{Bpy})^{2+}$ بوده است تعین گردید. شرایط همانند بالا بوده است. یعنی 50 ml محلول آبی 0.54 mM HNO_3 در حضور و غیاب لیگند ($0.30\text{ mM} = [\text{L}]$) و تحت

^۲ Newton-Gauss

واکنش حالت باز و حالت بسته (شکل ۲) مورد مطالعه قرار گیرد. افزایش ثابت پایداری مشاهده شده مربوط به برهمکنشهای درون مولکولی است.

آزمایشات

مواد مورد نیاز

(۱) Na_3dTDP از شرکت Sigma Chemical Co. ، تهیه شد. میزان فسفات معدنی موجود در این ترکیب اندازه گیری و معادل 17% تعیین گردید.

(۲) نمک دی سدیم اتیلن دی آمین ترا استیک اسید ($\text{Na}_2\text{H}_2\text{EDTA}$) و ترکیبات پتاسیم هیدروژن فتالات، نیتریک اسید، سدیم هیدروکسید تیترازول، سدیم نیترات، مس (II) نیترات و ۲-بی پیریدین (Bpy) همگی با خلوص تجزیه ای از شرکت Merck آلمان تهیه شدند.

همه محلولها با آب یون زدایی شده Millipore و عاری از CO_2 (با هدایت $18\text{ M}\Omega$) ساخته شده‌اند. غلظت محلولهای NaOH مصرفی در آزمایشها با پتاسیم هیدروژن فتالات بطور دقیق تعیین گردید. تیتراسیونهای pH متری با استفاده از دستگاه pH متر- پتانسیومتر مدل E53، شرکت مترونوم (Metrohm)، به همراه E655 و الکترود ترکیبی مدل (NB) 6.0203.100 و 6.0202.100 انجام گردید. تنظیم pH متر با استفاده از محلول های بافر pH^{4-} ، pH^{7-} و pH^{10-} انجام شده‌اند [۶ و ۱۰].

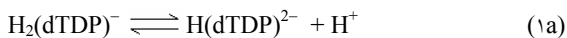
تعیین ثابت‌های اسیدی

ثابت‌های اسیدی $K_{(dTDP)}^H$ و $K_{H(dTDP)}^H$ و $K_{H_2(dTDP)}^H$ ترکیب $\text{H}_2(\text{dTDP})$ با تیتراسیون 50 ml محلول آبی حاوی

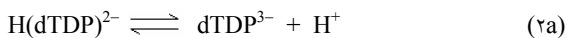
است بطوری که پدیده خودتجمعی^۴ حذف می‌گردد یعنی لیگندها بصورت منomer در محلول قرار دارند.

۱-۳- ثابت‌های اسیدی لیگند پروتونه شده:

لیگند $\text{H}_2(\text{dTDP})^-$ که حاوی دو پروتون بر روی گروه فسفات می‌باشد قادر است که مطابق واکنشهای زیر این پروتونها را از دست بدهد.



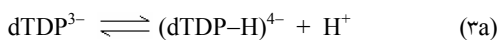
$$K_{\text{H}_2(\text{dTDP})}^{\text{H}} = \text{H}(\text{dTDP})^{2-}[\text{H}^+]/[\text{H}_2(\text{dTDP})^-] \quad (1\text{b})$$



$$K_{\text{H}(\text{dTDP})}^{\text{H}} = [\text{dTDP}^{3-}][\text{H}^+]/[\text{H}(\text{dTDP})^{2-}] \quad (2\text{b})$$

این دو پروتون همانطوری که گفته شد بر روی گروه فسفات قرار گرفته‌اند یکی بر روی گروه α و دیگری بر روی گروه β فسفات.

علاوه بر این، dTDP^{3-} قادر است که در یک واکنش بعدی که در محدوده بالای pH قرار دارد یک پروتون دیگر را از گروه حلقه بازی خود جدا نماید. این پروتون از نیتروژن (N شماره ۳ در شکل ۱) جدا می‌گردد که می‌توان این واکنش را به صورت زیر خلاصه نمود.



$$K_{\text{dTDP}}^{\text{H}} = [(\text{dTDP}-\text{H})^{4-}][\text{H}^+]/[\text{dTDP}^{3-}] \quad (3\text{b})$$

ثابت‌های اسیدی اندازه‌گیری شده در جدول ۱ آورده شده است.

N_2 با محلول 0.03 M ml NaOH تیتر شده است. اما NaNO_3 تا حدی توسط $\text{M}(\text{NO}_3)_2$ جایگزین شده است NaNO_3 و $\text{I} = 0.1\text{ M}$ و 25°C . نسبت M^{2+}/L به صورتهای $1 : 1$ و $2 : 1$ برای تمام سیستم‌ها اعمال شد که نتایج یکسانی بدست آمده است. این نشانگر این مطلب بوده است که نسبت M^{2+}/L نقش مهمی را در تشکیل کمپلکس ایفا نمی‌کند.

برای محاسبه ثابت‌های پایداری از جفت منحنی‌های تیتراسیون یعنی منحنی بدون لیگند و با لیگند استفاده شده است. این محاسبات توسط یک برنامه کامپیوتری برآراش خط^۵ با استفاده از مقادیر H^+ و $\text{H}_2(\text{dTDP})^-$ ، $\text{H}(\text{dTDP})^{2-}$ ، dTDP^{3-} ، $\text{M}(\text{dTDP})$ و $\text{M}(\text{H};\text{dTDP})$ فاصله هر 0.1 واحد pH از پائین‌ترین pH تا بالاترین pH جمع‌آوری شده است. در جمع آوری این اعداد بسیار دقت شده است که به محض مشاهده هیدرولیز(کار شدن محلول) اعداد حذف گردند که در این رابطه، واکنش مذکور در منحنی فلز بدون لیگند قابل تشخیص است. این واکنش با شروع تشکیل کمپلکسهای $\text{M}(\text{dTDP}-\text{H})^{2-}$ بوده است. درجه تشکیل برای $\text{M}(\text{H};\text{dTDP})$ عموماً 5% که براساس میزان کل لیگند بوده است. محدوده خطای محاسبه شده برای $\log K_{\text{M}(\text{H};\text{dTDP})}^{\text{M}}$ ± 0.02 واحد log بوده است.

نتایج و بحث

تمامی تیتراسیونهای پتانسیومتری در محلول NaNO_3 با $I = 0.1\text{ M}$ و 25°C با غلظت لیگند(L) 0.30 mM انجام شده

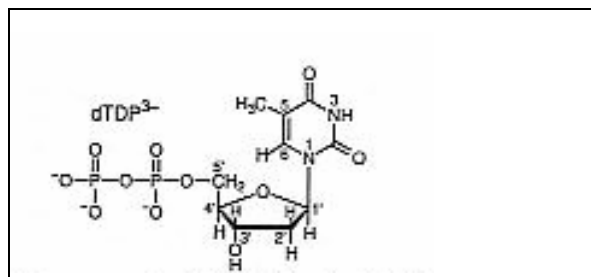
⁴ Self-stacking

⁵ Curve-fitting

جدول ۱: ثابت‌های اسیدی و پایداری کمپلکس‌های $dTDP^{3-}$ در محیط آبی اندازه گیری شده توسط روش تیتراسیون pH پتانسیومتری (محلول حاوی $NaNO_3$ با $I = 0.1\text{ M}$ و در دمای $25^\circ C$ بوده است)

| معادله | لگاریتم ثابت محاسبه شده ^۱ |
|--------|---|
| (۱) | $pK_{H2(dTDP)}^H = 1/3$ |
| (۲) | $pK_{H(dTDP)}^H = 6/44 \pm 0.1$ |
| (۳) | $pK_{dTDP}^H = 9/93 \pm 0.2$ |
| (۴) | $\log K_{Cu(H;dTDP)}^{Cu} = 2/4$ |
| (۵) | $\log K_{Cu(dTDP)}^{Cu} = 5/34 \pm 0.5$ |
| (۶,۷) | $pK_{Cu(H;dTDP)}^H = 3/5$ |
| (۸) | $\log K_{Cu(Bpy)(H;dTDP)}^{Cu(Bpy)} = 2/5$ |
| (۹) | $\log K_{Cu(Bpy)(dTDP)}^{Cu(Bpy)} = 6/11 \pm 0.3$ |
| (۱۰) | $pK_{Cu(Bpy)(H;dTDP)}^H = 2/83$ |

^۱ حدود خطای داده شده، سه برابر خطای استاندارد مقدار میانگین یا حاصل جمع خطاهای سیستماتیک احتمالی (که اغلب بزرگتر است) می‌باشد. ^۲ این اعداد محاسبه شده بوده و اندازه خطای آنها در $2/2 \pm 0.3$ تا $2/0 \pm 0.1$ واحد لگاریتم در نظر گرفته شده است.



شکل ۱: ساختار شیمیایی تیمیدین-۵-دی فسفات در حالت غالب

اثر دپروتونه شدن $N3(H)$ در باز تیمیدین در ترکیبات مشابه مقایسه ویژگی‌های اسید - بازی چند لیگند:

شناخته شده است

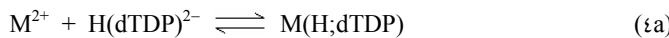
$$[40] 0.03 \pm 0.09 = pK_{dTTP}^H \cong (0.02 \pm 0.03) \text{ (جدول ۱)} = pK_{dTDP}^H \cong 0.03 \pm 0.09 = pK_{dTMP}^H [14] < 0.69 = pK_{dTdh}^H$$

بار منفی روی گروه فسفات در -2 ، -3 ، -4 متغیر است.

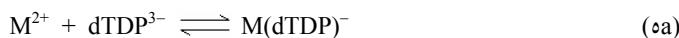
ثابت‌های پایداری M^{2+} در کمپلکس‌های $dTDP$

اعداد تجربی تیتراسیونهای پتانسیومتری دو سیستم بوسیله واکنشهای ۲ تا ۵ تعریف می‌شود.

M^{2+} : Cu^{2+} , $Cu(Bpy)^{2+}$ بطوری که $M^{2+}/dTDP$ می‌باشد



$$K_{M(H;dTDP)}^M = [M(H;dTDP)] / [M^{2+}][H(dTDP)^{2-}] \quad (4b)$$



$$K_{M(dTDP)}^M = [M(dTDP)^{-}] / [M^{2+}][dTDP^{3-}] \quad (5b)$$

ثابت اسیدی نهایی مطابق واکنش های زیر تعریف می‌شود.



$$K_{M(H;dTDP)}^H = [M(dTDP)^{-}][H^{+}] / [M(H;dTDP)] \quad (6b)$$

$$\rho K_{M(H;dTDP)}^H = \rho K_{H(dTDP)}^H + \log K_{M(H;dTDP)}^M - \log K_{M(dTDP)}^M \quad (v)$$

نتایج واکنشهای بالا برای کمپلکسهاي M^{2+} , $dTDP$, Cu^{2+} در جدول ۱ آورده شده است.

گردد نقاط مربوط به $dTDP$ در بالای خط همبستگی قرار

دلایل مشاهده بر همکنش های درون مولکولی تجمع

دارد یعنی برهم کنش ویژه ای وجود دارد که باعث پایداری

لیگند-لیگند:

بیش از حد در مقایسه با دیگر مشتقات دی فسفاتها شده

نتایج بالا پایداری سیستم $Cu(dTDP)^{-}$ را نشان می دهد و

است. این افزایش پایداری توسط معادله زیر تعریف می

همچنین مشخص می گردد که قدرت بازی به گروه دی

گردد.

فسفات بر می گردد. تصویر ۳ نشانگر پایداری سیستمهای سه

گانه $Cu(Bpy)(dTDP)^{-}$ می باشد. همانطوری که مشاهده می

$$\Delta \log K_{Cu/Bpy/dTDP} = \log K_{Cu(Bpy)(dTDP)^{-}}^{Cu(Bpy)} - \log K_{Cu(dTDP)}^{Cu} \quad (8)$$

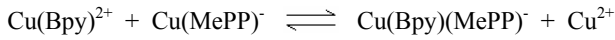
طبیعتاً تفاوت میان لگاریتم دو ثابت تعادلی یک عدد ثابت است و برای واکنش تعادلی زیر صادق می باشد



$$10^{\Delta \log K_{Cu/Bpy/dTDP}} = \frac{[Cu(Bpy)(dTDP)^{-}][Cu^{2+}]}{[Cu(Bpy)^{2+}][Cu(dTDP)^{-}]} \quad (9b)$$

این پدیده به تمایل فلزات 3d برای واکنش با گروههای هتروآروماتیک O, N دار باز می‌گردد. البته O می‌بایستی به صورت دهنده عمل نماید. قسمت دیگر این افزایش پایداری به برهمکنش‌های میان لیگندها در کمپلکس Cu(Bpy)(dTDP)⁻ مربوط می‌شود. این پدیده که از نوع نیروهای واندروالسی است به تجمع معروف می‌باشد.

این نتایج را می‌توان بصورت زیر توضیح داد که برای سیستم Cu/Bpy/MePP³⁻



$$\Delta \log K_{\text{Cu/Bpy/MePP}} = 0.42 \pm 0.05$$

dTDP ایجاد می‌شود که این پل همان Cu²⁺ است. پس از ایجاد این پل این امکان بوجود می‌آید که حلقه‌های هتروآروماتیک Bpy و dTDP به سمت هم حرکت کرده و با یکدیگر بر همکنش‌های بین حلقه‌ای ایجاد نمایند که این بر همکنش‌ها به تجمع معروف می‌باشد. اندازه این برهمکنش‌ها بوسیله معادله زیر قابل تعیین می‌باشد.

$$\Delta \Delta \log K = \Delta \log K_{\text{Cu/Bpy/dTDP}} - \Delta \log K_{\text{Cu/Bpy/MePP}}$$

$$\Delta \Delta \log K = 0.8 - \approx 0.4 \cong 0.4$$

طبق قاعده کلی $K_1 > K_2$ انتظار می‌رود که واکنش (۹a) به سمت چپ میل کند و برای $\Delta \log K_{\text{Cu/Bpy/dTDP}}$ عددی منفی بدست آید که این مطابق قوائمه آماری یان-تلر برای سیستم‌های هشت وجهی نامنظم Cu²⁺ برای لیگندهای دودنده A و B یعنی $\Delta \log K_{\text{Cu/Bpy/statist.}} \cong -0.9$ می‌باشد [۹]. در حالی که مطابق نتایج بدست آمده این عدد 0.8 است. این پایداری باعث می‌شود که واکنش تعادلی (۹a) به سمت راست تمایل یابد. قسمت مهم

(۱۰a)

این روشن است که یون فلزی در واکنش (۱۰a) همانند واکنش (۹) رفتار می‌نماید. در تمام موارد Bpy از طریق N حلقه با یون فلزی کوئردینه می‌شود. یون فلزی نیز از طرف دیگر با گروه O دی‌فسفات که از نوع دهنده است متصل می‌شود. همانطوری که از نتایج خلاصه شده در شکل ۳ بدست می‌آید ثابت پایداری dTDP و Cu(Bpy) بیش از حد بوده و این عامل به برهمکنش‌های درون مولکولی یا حالت تجمیعی مربوط می‌باشد. بنابراین یک پل میان لیگندهای Bpy و

(۱۱)

(۱۲)

نتایج این محاسبات در جدول ۲ آورده شده است.

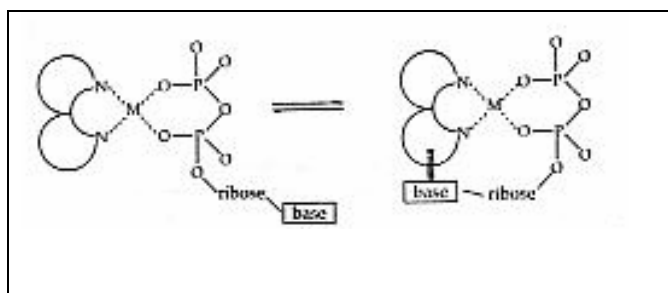
جدول ۲: اندازه برهمنکنش های درون مولکولی در کمپلکس های Cu(Bpy)(N) در محیط های آبی^۱

| ردیف | <i>Cu(Bpy)(N)</i> | معادله (۸) | معادله (۱۰، ۱۱) | معادله (۱۲) |
|------|-------------------|-----------------------------------|-----------------------------------|-----------------------|
| | | $\Delta \log K_{Cu / Bpy / dTDP}$ | $\Delta \log K_{Cu / Bpy / MePP}$ | $\Delta\Delta \log K$ |
| ۱ | $Cu(Bpy)(dTDP)^-$ | -0.77 ± 0.06 | -0.42 ± 0.05 | -0.35 ± 0.08 |
| ۲ | $Cu(Bpy)(dTMP)$ | | | -0.35 ± 0.06 |

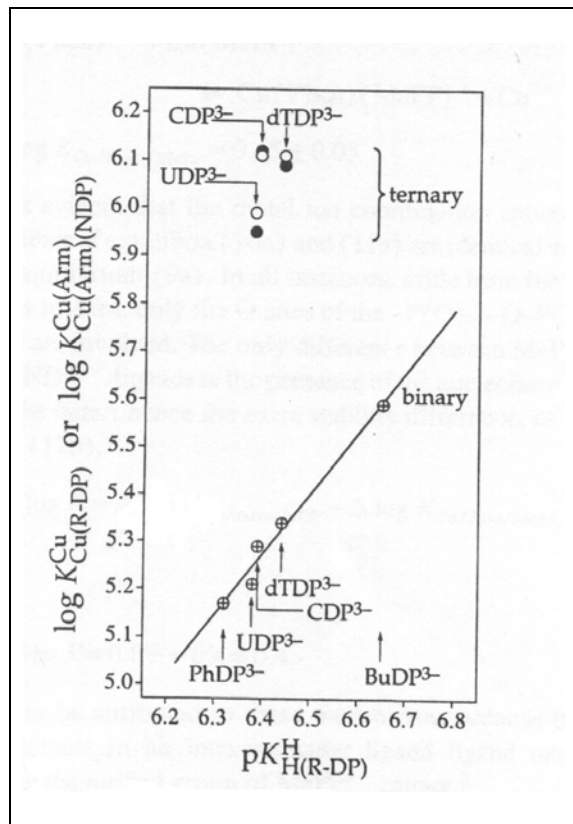
^۱ حدود خطای داده شده، سه برابر خطای استاندارد مقدار میانگین یا حاصل جمع خطاهای سیستماتیک احتمالی (که اغلب بزرگتر است) می باشد.

فسفات dTDP متصل شده است. همچنین این کمپلکس پس از انجام یک عمل چرخش به نحوی تغییر شکل می دهد که حلقه های آروماتیک Bpy و dTDP روی هم قرار می گیرند و تشکیل یک ماکروکیلیت مطابق شکل ۲ و ۴ را می دهند. چنانچه عنوان شد، بر همکنش ایجاد شده میان حلقه های آروماتیک بر افزایش پایداری کمپلکس کمک کرده است.

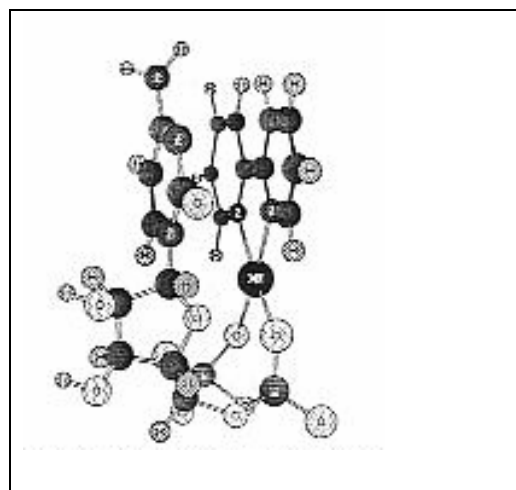
همانطوری که نتایج جداول ۱ و ۲ بدست می آید، پدیده برهمنکنش های درون مولکولی بوضوح قابل مشاهده است. این پدیده که به تجمع لیگند-لیگند معروف است در شکل های ۲ و ۴ بصورت ساختارهای شیمیایی نشان داده شده است. همان طوری که مشاهده می شود، یون فلزی Cu^{2+} از یک طرف به لیگند Bpy و از طرف دیگر به گروه دی



شکل ۲: تشکیل ماکروکیلیت و ایجاد پدیده تجمعي (حالتهای باز و بسته).



شکل ۳: اثبات افزایش ثابت پایداری کمپلکس‌های تیمیدین-۵-دی فسفات اندازه گیری شده در محیط آبی



شکل ۴: ساختار سه بعدی ماکروکیلیت و ایجاد پدیده تجمعي

است که لیگندها از طول کافی برای ایجاد پدیده تجمعی برخوردار بوده و با صرف انرژی کمی عمل چرخش را انجام داده و برهمکنش های درون مولکولی را بوجود آورند. در پایان می توان تفاوت های انرژی حالت باز و بسته (تجمعی) را بر اساس شکل ۲ بدست آورد. برای مثال ΔG° مربوط به حالت تجمعی برابر با -17 kJ/mol - که مطابقت با تفاوت ثابتیهای پایداری بدست آمده، یعنی $0.3 \text{ log } 10$ دارد (جدول ۲). این مقادیر هم مطابقت با انرژی مصرفی در سیستمهای بیولوژیکی دارند.

- [8] T. Sugimori, H. Masuda, N. Ohata; *Inorg. Chem.* **36**, (1997) 576-583.
- [9] S. Massoud; *Inorg. Chim. Acta*, **159**, (1989) 243-252.
- [10] S. A.A. Sajadi, B. Song, H. Sigel; در دست چاپ.
- [11] H. Sigel; U.K. Haering *Angew. J. Am. Chem. Soc.*, **107**, (1985) 5137-5148.
- [12] Y. Fukuda, H. Sigel; *Helv. Chim. Acta* **61**, (1978) 638-647.

نتیجه گیری

نتایج بدست آمده در این مقاله نشان می دهد که یک یون فلزی (Cu^{2+}) پلی میان دو لیگند ایجاد کرده و این اتصال منجر به برهمکنش های درون مولکولی شده و نتیجه آن تشکیل حالت تجمعی می باشد. این نتیجه با مطالب ارائه شده توسط دیگر محققین تطابق خوبی را نشان می دهد [۱۱] و [۱۲]. بطور کلی این پدیده مهم مشاهده می شود که برهمکنش های تجمعی مربوط به قسمت باز نوکلئوتید ربطی به فضای کثوردیناسیون یون فلزی که در حقیقت پدیده تجمعی را به وجود می آورند ندارد. البته این در صورتی

منابع

- [1] E. Frieden; *J. Chem. Educ.* **52**, (1975) 754-761.
- [2] B. Alberts, D. Bray, J. Lewis; *Mol. Biol. Cell*, **3**, (1994) 89.
- [3] O. Yamauchi, A. Odani, H. Masuda, H. Sigel; *Met. Ions in Biol. Syst.* **32**, (1996) 207-270.
- [4] H. Sigel; *Angew. Chem.* **87**, (1975) 391-400.
- [5] O. Yamauchi, A. Odani,; *J. Am. Chem. Soc.*, **107**, (1985) 5938-5945.
- [6] H. Sigel; *Pure Appl. Chem.* **61**, (1989) 923-932.
- [7] O. Yamauchi; *Pure Appl. Chem.* **67**, (1995) 297-304.